



DX-MB 2336 – 11. Januar 2023

DX Mitteilungsblatt

DARC-Referat DX

Editor: Andreas Salder, DK5ON

(E-Mail: dxmb@darcdxhf.de)

(<https://www.darc.de/der-club/referate/dx/>)



Deutscher Amateur-Radio-Club e.V.

Bundesverband für Amateurfunk in Deutschland

Wöchentlich erscheinende DX-Mitteilungen des DARC – Referates DX

DX - Aktivitäten



5X, UGANDA:

Anders SM0HPL ist zurück in Kampala und wird bis zum 23. Januar auf den Kurzwellen-Bändern unter dem Rufzeichen **5X7W** in QRP (<5W) QRV sein. Anders lädt sein Log jede Woche in die ClubLog Datenbank hoch. QSL via M0OXO, ClubLog, LoTW oder eQSL



7X, ALGERIA:

Anlässlich der afrikanischen Fußballmeisterschaft, die 13.1. bis zum 4.2. in Algerien stattfindet, sind Mitglieder des Radioclubs von 7X2VFK unter dem Rufzeichen **7U7C** in der Luft. QSL direkt an die aufgeführte Adresse auf www.qrz.com



A7, QATAR:

Tony RN1B ist seit Ende Dezember unter dem Rufzeichen **A75GC** aus Doha QRV und wird bis Ende Januar in Qatar bleiben. QSL via RW3RN (d/B)



ET, ETHIOPIA:

Ken K4ZW, Bob W9XY und Nodir EY8MM werden zusammen mit einem lokalen Funkamateuren vom 14. bis zum 21. Januar unter dem Clubstations Rufzeichen der ETHIOPIAN AMATEUR RADIO SOCIETY (EARS) **ET3AA** in Äthiopien QRV sein. Während ihres Aufenthalts werden sie versuchen, unter den Studenten neue Mitglieder zu rekrutieren und ihnen die Grundlagen des Funkamateurbetriebs beizubringen. QSL via N2OO oder ClubLog OQRS



F, FRANCE:

Der Radio-Club F6KGI aus Carcassonne feiert sein 50-jähriges Bestehen und aktiviert das Sonderrufzeichen **TM50KGI**. Er will alle ehemaligen Mitglieder ehren, die in der Vergangenheit in dem Club aktiv waren. QSL via F6KGI (d/B)



F, FRANCE und K, USA:

Vom 17. bis zum 31. Januar wird Thierry F4GVO unter dem Sondercall **TM100DOR** QRV sein, um das 100-jährige Bestehen des " im Bundesstaat Wisconsin in den USA zu feiern. Auf der anderen Seite des Atlantiks werden die amerikanischen OM's des "Door County Amateur Radio Club" vom 15. bis 31. Januar unter dem Rufzeichen **W9DOR** in der Luft sein.

DX-MB vom 11. Januar 2023, Nummer 2336

Die deutsche Text-Version finden Sie auf unserer Homepage:
<https://www.darc.de/der-club/referate/dx/dxmb/>





K, USA:

Bis zum 31. Januar veranstaltet der "Straight Key Century Club" seine jährliche Veranstaltung zum Gedenken an seine Gründung im Jahr 2006 und zur Feier alter Geräte aus den Anfängen der Funktelegrafie. Dazu werden in jeder der 10 Regionen der USA mehrere Sondercalls aktiviert, von **K3Y/0** bis **K3Y/9**, sowie die Calls **KH6/K3Y** (Hawaii), **KL7/K3Y** (Alaska) und **KP4/K3Y** (Puerto Rico). Siehe: <https://skccgroup.com/k3y/k3y.php>.



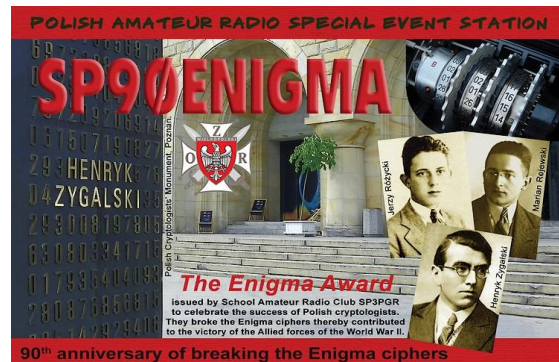
LY, LITHUANIA:

Zur 700-Jahr-Feier der Hauptstadt Vilnius wird ein Team von 10 litauischen Operatoren (LY1CG, LY1LB, LY2BVB, LY2IJ, LY2QT, LY2XW, LY2PX, LY4NZ, LY4Q, LY8O) bis zum 31. Januar unter dem Rufzeichen **LY700VLN** QRV sein. QSL via LY4Q.



■ SP. POLAND:

Bis zum 15. Januar **SP90ENIGMA** (QSL via SP3PGR) und **SP90ENG** (QSL via SP3PDO) anlässlich des 90. Jahrestages, seit polnische Kryptologen zum ersten Mal die Verschlüsselung der deutschen Enigma-Maschine im Zweiten Weltkrieg brachen.



DX News

** PIRAT unter FT8WW QRV **



AF-008; FT*4, CROZET ISLANDS:

Thierry **FT8WW** ist sehr aktiv, aber sein Rufzeichen wird oft von Piraten missbraucht. Ein Pirat arbeitete zum Beispiel am 4.1. von 18:20 UTC bis 6.1. 01:30 UTC. Zu dieser Zeit herrschte auf der Insel ein starker Wind und Thierry musste seine Antenne abbauen. Am 4.1. installierte er einen vertikalen Dipol auf 17m und arbeitete in FT8 auf diesem Band von 15:00 UTC bis 18:20 UTC. Aktuelle Informationen kann man in Twitter unter folgendem Link verfolgen:

<https://twitter.com/crozet2022?lang=en>



Insel - Aktivitäten



Zusammengestellt von Andreas, DK5ON
(E-Mail: dk5on@darc.de)

IOTA-Vorzugsfrequenzen

CW: 28040 24920 21040 18098 14040 10114
7030 3530 kHz
SSB: 28560 28460 24950 21260 18128 14260
7055 3760 kHz

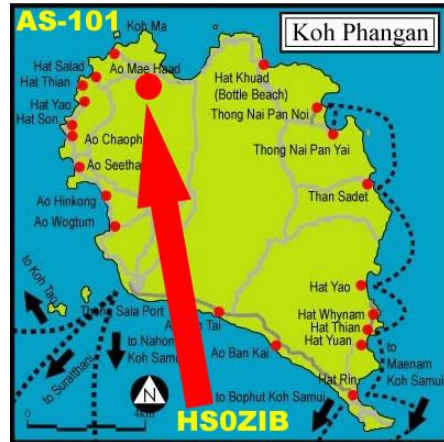
👉 AS-004; 5B/ZC, CYPRUS ISLAND:

Garry 2M1DHG ist nach seiner Aktivität als VP8DLB in Port Stanley wieder nach Zypern zurückgekehrt und wird als **ZC4GR** in FT8 auf 40m, 30m und 10m QRV sein. QSL via EB7DX.



█████ AS-101; HS, MALAY PENINSULA EAST group:

Simon **HS0ZIB** (XW0LP, XZ2A) verließ Myanmar aufgrund ziviler Unruhen und kehrte nach Thailand zurück. Er beschloss, auf der kleinen Insel Phangan (AS-101) im Golf von Thailand zu leben. Diese Insel wurde noch nicht aktiviert. Simon wird auf den Bändern unter dem **HS0ZIB** Rufzeichen QRV sein, sobald er sein QTH fertig gebaut hat.



🇬🇧 EU-005; G/GM/GW/M/MM/MW, GREAT BRITAIN

Das Sonderrufzeichen **GB2KW** wird zwischen dem 1. Januar und dem 28. Januar 2023 aus der Nähe von Inverness, Schottland aktiv sein. Der WAB Square ist NH77 - Ross and Cromarty District, Highland Region. Die OM's werden eine Vielzahl verschiedener alter Transceiver verwenden, die in den 1960er und 1970er Jahren von KW Electronics Ltd in Dartford, Kent, hergestellt wurden. Es werden auch eine Reihe anderer Sonderstationen in dieser Zeit aktiv sein: **GB5KW**, **GB8KW**, **GB0KWD**, **GB5KWD** und andere. QSL nur über LoTW oder ClubLog



👉 EU-014; TK, CORSICA ISLAND:

Rene DL2JRM wird vom 9.1. bis zum 12.1. nur in CW unter dem Rufzeichen **TK/DL2JRM** QRV sein. QSL via DL2JRM (B)

�� NA-021; 8P. BARBADOS:

Chris WA7RAR wird vom 13. bis zum 25.1. von Ocean City, St. Phillip Parish auf der Insel Barbados in CW und SSB auf den Bändern von 20m bis 10m unter dem Rufzeichen **8P9CB** QRV sein. Er plant auch von 12 POTA (Parks on the Air) Standorte zu aktivieren. QSL via WA7RAR (d) oder LoTW





NA-023; VP2V, BRITISH VIRGIN ISLANDS:

Tom N2TSR wird vom 7. bis zum 15. Januar in Rahmen seines Urlaubs auf 20-10m unter dem Rufzeichen **VP2V/N2TSR** QRV sein. QSL via N2TSR

NA-097; 6Y, JAMAICA:

Gawain N0GJW ist seit dem 18.12.22 auf Jamaika und unter dem Rufzeichen **6Y/N0GJW** QRV. Er arbeitet in SSB und FT8 auf 40m bis 10m. Seine Aufenthaltsdauer auf der Insel ist nicht bekannt. QSL nur via QRZ Log, keine Papier QSL

NA-107; FM, MARTINIQUE:

Francis F6BWJ wird unter dem Rufzeichen **FM/F6BWJ** vom 11.1. bis zum 10.3. in CW, PSK und RTTY auf den Bändern von 80m bis 10m QRV sein. QSL über OQRS oder LoTW

NA-146; FJ, ST-BARTHELEMY ISLAND:

Phil K2LIO wird noch bis zum 15.8. auf St. Barth bleiben und unter **FJ4WEB** auf den Bändern QRV sein. Phil ist hauptsächlich in SSB auf 40m bis 10m QRV. QSL via H/c

OC-009; T8, PALAU ISLANDS:

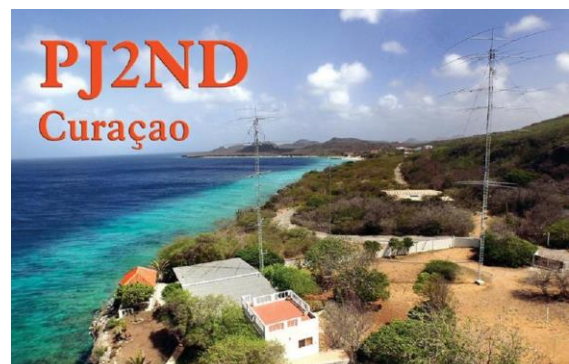
Mike JA6EGL, Kuzo JH6WDG und Mune JR6DRH werden vom 13. bis zum 19. Januar erneut als **T88SM**, **T88AQ** bzw. **T88RH** von Koror Island aus vom VIP Guest Hotel, Koror QRV sein. Sie werden von 160m bis 6m in CW, SSB und Digital aktiv sein. QSL über das persönliche Rufzeichen. JA6EGL (als T88SM), JH6WDG (als T88AQ) und JR6DRH (als T88RH).

OC-018; T33, BANABA ISLAND:

Norbert DF6FK und seine XYL Judith DL2ZAD mussten auf Grund von COVID-19 ihre geplante Aktivität vom 12.1. bis zum 24.1. von der Insel Banaba unter den Rufzeichen **T33BA** und **T33BB** verschieben. Ein neuer Termin wird rechtzeitig bekannt gegeben.

SA-099; PJ2, CURACAO:

Jeff K8ND wird vom 9.1. bis zum 6.2. von der Contest Station PJ2T unter **PJ2ND** QRV sein, aber nur im CQ WW 160M Contest am 27.-29.1. wird er unter dem Rufzeichen **PJ2T** QRV sein. QSL für PJ2ND via K8ND (d) oder LoTW, PJ2T via W3HNK



Informationen geplanter Insel - Aktivitäten

AN-002; 3Y, BOUVENT ISLAND:

Ken LA7GIA veröffentlicht kurz vor dem Abflug nach Bouvet die zugeteilten persönlichen Rufzeichen des norwegischen Teams die ausgestellt wurden: 3Y7GIA (LA7GIA), 3Y7THA (LA7THA), 3Y/LB5GI und 3Y/LB1QI. Diese Rufzeichen werden während ihrer Anwesenheit auf der Insel auch zusätzlich genutzt und in der Luft sein.



EU-189; GM/MM, ISLE OF ROCKALL:

Nobby G0VJG berichtete, dass die Vorbereitungen für die Expedition gut aussehen. Das Schiff ist für den 26.5. gechartert und Emil DL8JJ wird als CW-Operator Nobby begleiten. Sie planen 1-2 Tage auf der Insel zu verbringen und werden unter dem Rufzeichen **MM0UKI** in der Luft sein.



POTA - Aktivitäten



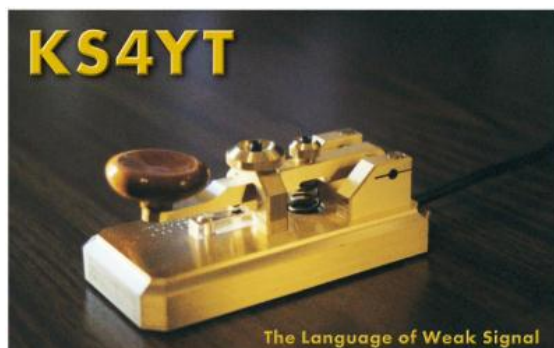
Parallel zu dem WWFF-Programm gibt es auch ein „**Parks On The Air ® (POTA)**“ Programm. Dieses beinhaltet auch Referenzen der Parks und ein Diplomprogramm. Mehr Informationen auf der Homepage <https://parksontheair.com/>

K-3038 McKinney Falls State Park

Matt K5NON ist vom 13.1. 2309 UTC bis zum 17.1. 0003 UTC auf einem Camping Urlaub und will nebenbei aus dem State Park POTA K-3038 auf folgenden Bändern (15m, 17m, 20m, 30m, 40m) mit 100W in SSB und in FT4(8 QRV sein. QSL via K5NON (d/B)

K-2945 Fall Creek Falls State Park

Bridget KS4YT und Allan KV4T planen am 14.01. 0500 UTC bis zum 16.01. 0500 UTC auf den Bändern 15m, 20m, 30m, 40m in FT4/8 mit 2 Stationen QRV zu sein. QSL via ihrer Rufzeichen (d/B) oder LoTW



KW Conteste

Termine Januar 2023:

- | | |
|---------------|--|
| 14.01. | YB DX Contest
0000 UTC - 2359 UTC
80m - 10m
SSB |
| 15.01. | VFDB DLPX Contest
1300 UTC - 1559 UTC
80m - 10m
CW/SSB |
| 21/22. | HA DX Contest
1200 UTC - 1200 UTC
160m - 10m |
| 27/29. | CQWW 160m Contest CW
2200 UTC - 2200 UTC
160m
CW |
| 28/29. | REF Contest CW
0600 UTC - 0600 UTC
80m - 10m
CW |
| 28/29. | BARTG RTTY Sprint
1200 UTC - 1200 UTC
80m - 10m
RTTY |
| 28/29. | UBA DX Contest SSB
1300 UTC - 1300 UTC
80m - 10m
SSB |

Die Ausschreibungen finden Sie ebenfalls auf <http://www.darc.de/der-club/referate/conteste/> sowie mittels der Contest Termin-Tabelle in der CQ DL 01/2023 auf Seite 64.



Kalender

von	-	bis	DX	DX-MB
	-	23.01.	5X7W	2336*
22.12.	-	20.01.	6W1/WA3DX	2333
22.12.	-	20.01.	6W6/WA3DX	2333
22.12.	-	20.01.	6W9/WA3DX	2333
27.11.	-	11.01.	6Y5/W8YCM	2330
18.12.22	-		6Y/N0GJW	2336*
01.12.	-	11.01.	6Y8LV	2331
13.01.	-	04.02.	7U7C	2336*
	-	31.03.	8J1H90T	2330
13.01.	-	25.01.	8P9CB	2336*
01.01.23	-	29.03.	9M2MRS	2334
	-	30.01.	A75GC	2336*
01.01.23	-	15.01.	AT18BSG	2335
15.12.	-	12/23	AT42I	2332
28.11.	-	24.02.	C5YK	2331
01.05.	-		C83YT	2301
	-		C91CCY	2322
03.01.23	-	21.01.	D44TWO	2334
			DA0WB	2334
01.01.23	-	31.12.	DB100RDF	2335
20.02.	-	19.02.	DKØHN	2285
26.01.	-	25.01.	DLØOF	2288
07.05.	-	06.05.	DL1640Y	2312
01.10.	-	30.09.	DR45HAAN	2330
01.01.23	-	30.05.	DR100XRAY	2335
	-	21.01.	DU9/ON5SM	2335
07.01.23	-	10.01.	EG1NMP	2335
14.01.	-	21.01.	ET3AA	2336*
	-		EX0ET	2335
01.09.	-	01.04.24	FH4VVK	2317
15.10.22	-	15.08.23	FJ4WEB	2336*
11.01.	-	10.03.	FM/F6BWJ	2336*
07.22	-		FO5QS	2312
	-	03.23	FT4YM	2324
25.12.22	-	26.01.	FT8WW	2335
	-	02.24	FW1JG	2287
26.12.	-	08.01.	FY/F4GPK	2333
01.01.	-	28.02.	GB2KW	2336*
01.01.	-	28.02.	GB5KW	2336*
01.01.	-	28.02.	GB8KW	2336*
01.01.	-	28.02.	GW0KWD	2336*
01.01.	-	28.02.	GW5KWD	2336*
29.12.	-	22.01.	HC1FIT	2334
15.03.	-	15.03.	HG2ØØAN	2293
15.03.	-	15.03.	HG2ØØDO	2293
15.03.	-	15.03.	HG2ØØEF	2293
15.03.	-	15.03.	HG2ØØIR	2293
15.03.	-	15.03.	HG2ØØOT	2293
15.03.	-	15.03.	HG2ØØPS	2293
01.01.23	-	01.05.	HH75RCH	2334
	-		HK3/F4AHV	2332
25.07.	-	15.05.	HK3JCL	2307
23.11.	-	13.03.	HR5/F2JD	2329
01.01.	-		HS0ZIB	2336*
06.11.	-	02.04.	HS0ZME	2326

01.01.	-	31.12.	II4ANC	2334
01.01.	-	31.12.	II4BRI	2334
01.01.	-	31.12.	II4CDV	2334
01.01.	-	31.12.	II4CGD	2334
01.01.	-	31.12.	II4CLT	2334
01.01.	-	31.12.	II4GAR	2334
01.01.	-	31.12.	II4GNV	2334
01.01.	-	31.12.	II4SML	2334
01.01.	-	31.12.	II4SPZ	2334
01.01.	-	31.12.	II4SSM	2334
01.01.	-	31.12.	II4STL	2334
01.01.	-	31.12.	II4TRN	2334



	-	06.23	J28HJ	2311
08.22	-		J28RC	2315
01.10.	-		J5JUA	2323
24.12.	-	23.01.	JD1BMH	2333
	-	31.01.	K3Y/0...9	2336*
14.05.	-		K4RC	2301
12/22	-	12/23	KC4AAC	2332
	-	31.01.	KH6/K3Y	2336*
	-	31.01.	KL7/K3Y	2336*
	-	31.01.	KP4/K3Y	2336*
	-	31.01.	LY700VLN	2336*
10.01.	-	10.02.	LY1923KK	2335
07.01.	-	15.01.	VP2V/N2TSR	2336*
23.04.	-		OE22M	2298
01/23	-	06/23	OE40XTU	2332
10.01.	-	08.02.	P4/V43QSL	2335
23.12.22	-	05.01.23	PJ2/DD0VR	2333
09.01.	-	06.02.	PJ2ND	2336*
27.01.	-	29.01.	PJ2T	2336*
01.01.	-	13.01.	PJ4/DD0VR	2334
			RI1ANC	2335
24.10.	-	24.03.23	RI1ANU	2324
01.01.	-	31.03.	RI30ANT	2335
			RI41POL	2321
01.05.	-		S035S	2301
	-	15.01.	SP90ENIGMA	2366*
	-	15.01.	SP90ENG	2336*
13.01.	-	19.01.	T88AQ	2336*
13.01.	-	19.01.	T88RH	2336*
13.01.	-	19.01.	T88SM	2336*
23.12.	-	03.01.23	TI7/VE3BW	2333
	-		TI8/F4AHV	2332
09.01.2023-	12.01.		TK/DL2JRM	2336*
	-	30.01.	TM50KGI	2336*
17.01.	-	31.01.	TM100DOR	2336*
06.01.23	-	21.01.	TN8K	2335
	-		TO5Z	2328

29.12.	-	15.03.23 TR8CR	2334	4S7RO	via	F6BFH (B), (*)
	-	06/23 TT8SN	2320	4U1A	via	UA3DX (B), (L)
	-	TZ4AM	2311	4U1VIC	via	UA3DX (d/B)
12/22	-	03/23 V31TX	2333	4U1XMAS	via	UA3DX (B)
18.10.	-	V55WH	2324	4W/JH2EUV	via	JH2EUV (B), (L)
06.2022	-	V73MS	2306	4W/VK1AO	via	VK1AO (L), (e)
31.10.	-	V85NPV	2329	4X6FR	via	4X6OM
29.12.	-	05.01. VL9MTO	2334	4X7XMAS	via	4X6ZM (B), (L), (e)
	-	04/23 VK9WX	2331	4X8XMAS	via	4X6ZM (B), (L), (e)
2.1.23	-	31.03. VP2MDX	2334	4X9XMAS	via	4X6ZM (B), (L), (e)
	-	VP5MA	2302	4Z8NER	via	4X6ZM (B), (L), (e)
01.12.	-	01.23 VP8/SQ1SGB	2331	5A1HA	via	F6BFH (B), (*)
	-	VP8AAE	2320	5A1AL	via	5A1AL ((O)), (L)
12/22	-	01/23 VP8RAF	2332	5B/NP2KY	via	5B-Bureau
12/22	-	01/23 VP8TAA	2332	5B4AQC	via	DK6SP (B), (L)
14.05.	-	W1M	2301	5B4AMM	via	UT5UDX (L), (e)
	-	08.01. W2P	2335	5B4YOTA	via	5B4CY (d), (B)
15.01.	-	31.01. W9DOR	2336*	5C4ØDN	via	CN8DN (d)
	-	14.01. WA5LFD/p	2330	5E5R	via	CN8YZ (L), (e)
21.08.	-	XZ2A	2316	5H2JK	via	DL8AAI (B)
25.06.	-	XZ2B	2309	5H3FM	via	HB9DSP (B), (L)
	-	12/25 YB8QT	2330	5H3SE	via	(L)
01.12.22	-	30.06.23 YR1200VT	2333	5H5PJ	via	(e) & (L)
01.09.	-	Z6/KN4PRE	2317	5H8HZ	via	TA1HZ (d), (L), (e)
28.08.	-	ZA/DG7PX	2317	5KØT	via	LU1FM (d), (L), (e)
23.08.	-	ZA/Z35M	2315	5K0YD	via	IK2DUW (d)
12/22	-	ZA15K	2333	5K6RM	via	HK6RM (B), (L)
	-	ZC4GR	2336*	5N/KE5GUR	via	KE5GUR (d). (e)
29.12.22	-	05.01.23 ZF2IT	2334	5P1KZX	via	OZ1KZX (B), (L), (e)
25.08.	-	ZL4/VE6TC	2318	5P1OT	via	SP1OT (B)
15.07.	-	ZL7/ZL1VV	2311	5P5Q	via	OZ9XU (B), (L), (e)
				5P5T	via	OZ1FDH (L), (e)
				5P6MJ	via	OZ6MJ (L), (e)
				5P8VW	via	DJ8VW (B), (L), (e)
				5Q5CW	via	DL5CW (B), (L)
				5Q7DX	via	PA7JWC (B), (L)
				5R8CG	via	DL2AWG (B), (L)
				5R8FG	via	IZ6BRJ (B)
				5R8MM	via	DL2AWG (B), (L)
				5R8PA	via	DL2AWG (B), (L)
				5R8WG	via	DL2AWG (B), (L)
				5R8WP	via	DL2AWG (B), (L)
				5R8AL	via	G3SWH (d), (L)
				5WØRS	via	IT9YVO (d)
				5X3R	via	IK2DUW
				5X4E	via	IQ3CO (B); IZ3ZLG (d)
				5Z4VJ	via	MØURX (B OQRS), (L)
				6D5C	via	XE1H (nur (L))
				6W1/WA3DX	via	WA3DX (d), (L)
				6W6/WA3DX	via	WA3DX (d), (L)
				6W9/WA3DX	via	WA3DX (d), (L)
				6Y5/4S7RO	via	F6BFH (B), (*)
				6Y5/W8YCM	via	W8YCM (d)
				6Y6ØHM	via	EA5GL (B)
				6Y8LV	via	W8YCM (d)
				7A1B	via	EA7FTR (d), (L)
				7G1RL	via	HA3JB (d), (L)
				7Q5RU	via	R7AL (L)
				7Q6M	via	K6ZO (L)

* = neu oder aktualisiert

.. = und andere Calls

QSL-Informationen

3A/F6EXV	via	F6EXV
3A/IR1DCI	via	IK1GPG (B)
3A/PB8DX	via	PB8DX
3A/DL2SBY	via	DL2SBY (d), (L)
3A3A	(L)	
3A6M	via	F6EXV ((O)), (B), (L)
3B8/DK6SP	via	DK6SP (B), (L)
3B8/KX7M	via	F5CWU (B)
3B8X	via	PFØX (B), (L)
3B9/MØCFW	via	(L)
3C3CA	via	TA2OM (B), (L), (e)
3X1A	via	F1TMY QSL nur (C)
3Z3ØPAR	via	SP4KM (B), (L)
3Z7ØFI	via	SP9JPA (B)
3Z95PRK	via	SP9MRP (B)
4D3X	via	W3HNK (d), (L)
4K7DK	via	DK1DKE (B)
4L1FP	via	K6VHF (B), (L), (e)
4L8A	via	MØOXO (B-(O)), (L)



7R19MG	via	(d), (e)	A72FIFA	via	QARS-Bureau, (L)
7R7A	via	7X2VFK (d)	A73FIFA	via	A71A (B), (L)
7S1GRK	via	SK1BL (B, automatisch)	A74FIFA	via	QARS-Bureau, (L)
7S7SOP	via	SM7RYR (nur (L))	A75FIFA	via	A71A (B), (L)
7T60A	via	7X2DD (d)	A76FIFA	via	QARS-Bureau, (L)
7X2GK	via	IK2DUW (d), (L)	A77FIFA	via	QARS-Bureau, (L)
7X2VFK	via	7X2DD (d)	A78FIFA	via	QARS-Bureau, (L)
7Y19MG	via	(d), (e)	A72FWC	via	A71A (B), (L), (e)
7Z1VD	via	EA5GL (B), (L)	A71XX	via	EC6DX (d), (L)
7Z29ND	via	HZ1SAR (d)	A91ARS	via	EC6DX (d), (L)
8A64BALI	via	YH9AA (d), (e)	A91FTDMC	via	EC6DX (d), (L)
8J1H9ØT	via	JARL-Bureau, (L), (e)	A91ND	via	EC6DX (d), (L)
8J3S	via	JK3IJQ (B)	A91OMA	via	EC6DX (d), (L)
8N2TY	via	JARL-Bureau, (L), (e)	A44A	via	A47RS (B), (L)
8P6ET	via	KU9C (d), (L)	AHØ/WA7WJR	via	WA7WJR (d), (L)
8P9NF	via	EA4NF (L)	AH2/WA7WJR	via	WA7WJR (d), (L)
8S0C	via	SM0MPV (B), (L)	AM100RCE	via	EA4URE
8S80AA	via	SK5AA (OQRS)	AM23ØCW	via	EA2CW (L), (e)
8S9J	via	SM5TOG (nur (L))	AM30FEDIEA	via	EA3RKF (d), (e)
8Q7AG	via	IZ2DPX (B), (L)	AM33ØHLM	via	EA3HLM (nur L & (e)
8Q7QE	via	EA5Q (B), (L)	AM33ØRKM	via	EA3RKM (L), (e)
8Q7TD	via	IK1TDD (B), (L)	AM38SDC	via	EA1AUM (B), (L), (e)
8Z92ND	via	HZ1SAR (d)	AM4ØRCH	via	EA3RCH (B), (L), (e)
9A/DL7MDX	via	DL7MDX (B), (L)	AM5ØØPCM	via	EA7URF (B), (L), (e)
9A/F5SNJ	via	F5SNJ (nur (L))	AM630VQ	via	EA6VQ (B), (L)
9A/W8FNG	via	W8FNG (d), (L)	AO12ØDRI	via	EA7AMB (B), (e)
9A/S50IPA	via	S50IPA	AP2KN	via	F6BFH (B), (*)
9A/SQ9CNN	via	SP9FIH (B), (L)	AP2TN	via	N4BAA (World),
9A1WFF/p	via	9A2MF (B)			RW6HS (Russia, d), (L)
9A2Ø22ICM	via	9A6KX (d), (L), (e)	AP75HA	via	AP2HA (L)
9A22YOTA	via	9A1A (B), (L)	AP75HAS	via	VU2SMS (d)
9A24ZRF	via	9A7ALZ (B), (L)	AP75SD	via	EA5ZD (B: nur Mail), (e)
9A5Y	via	9A7W (B), (L)	AT18BSG	via	VU2NRO
9A8GHJ/p	via	OE7GHJ (B)	AU2JCB	via	VU2DSI (d), (e)
9H/IV3CTS	via	YT4RA (L), (e)	AU2SOA		(L), (e)
9H6LH	via	DL1KJ (B)	AU75JRO	via	VU2JRO (d), (L), (e)
9H6QE	via	9H1MRC (d)	AU75SMS	via	VU2SMS (d), (L)
9J2SEU	via	OE3SEU (L)	AP75TN	via	RW6HS (d)
9K2OW	via	EC6DX (d), (L)	AZ1D	via	LU1DX
9K9KSA	via	EC6DX (d), (L)	BP0A	via	BV2KS
9M100SK	via	9W2TXL (d)	BW/DJ4JB	via	DJ4JB (B)
9M2MRS	via	PAØRRS (B), (L)	BX0QL	via	BM2JCC, (e)
9M59SD	via	9W8KIF (d)	C37N	via	C37URA (B), (L)
9M6NA	via	JE1JKL (B), (L)	C6ADX	via	W8GEX (L)
9N7AA	via	S57DX (d), (L)	C6AGU	via	HA7RY (L), (e)
9V1ZV	via	EA5GL (B), (L), (e)	C6AQ	via	EA5GL (B), (L), (e)
9X5GG	via	F6BFH (B), (*)	C6AYL	via	W8CAA (L)
A35JP/p	via	JA0RQV (B), (L)	C7A	via	UA3DX (B)
A43KSA	via	EC6DX (d), (L)	C91CCY	via	K3IRV (B)
A43UAE	via	A47RS (B), (L), (e)	CB3W	via	XQ4CW
A6ØA	via	EA7FTR (d), (L)	CB4A	via	CE4UFC
A6ØBHR	via	EA7FTR (d)	CE3/CE0YHF	via	CE0YHF (d), (L)
A60FIFA/2	via	EA7FTR	CN22JIM	via	RW6HS (d)
A65/DL2RMC	via	DL2RMC (B), (L)	CN23NIL	via	RW6HS (d)
A65DR	via	N4GNR (d), (L)	CN23NOA	via	CN8NOA
A61ZX	via	IZ8CLM (B), (L), (e)	CO7VI	via	IK2DUW (d) und (L)
A62A	via	EA7FTR und (L)	CQ3J	via	CT3MD and (L)
A71AU	via	F6BFH (B), (*)	CQ7WRTC	via	CT1ILT, (L)
A71FIFA	via	A71A (B), (L)	CQ9T	via	CT3KN



CR2X	via	OH2BH (B)	DR1ØØRY	via	DF2SD (B), (L), (e)
CR3SI	via	CT1DSV (B)	DR100XRAY	via	DJ6SI (Bureau)
CR3Y	via	OM2FY	DR15ØMM	via	(B), (e)
CR6K	via	CT1ILT (O), (d), (L)	DR3K	via	DG1YKW (B)
CS2C	via	OK1RF	DR4A	via	DJ9KM (B), (L)
CS7/DO1HKH	via	DO1HKH	DR45HAAN	via	DO9MP (B), (O)
CT9ABO	via	OM3GI (d), (L)	DU1/PG5V	via	PG5V (d), (B), (L)
CT9ABV	via	DL5AXX, (L)	DU3/W6QT	via	W6QT (B), (L), (e)
CW3A	via	EA5GL (d), (L)	DU7/N7ET	via	N7ET (B), (L)
CW5X	via	CX2ABC (d)	DV8/KH7EA	via	SP3SUX (B)
CX1ØØB	via	CX1AA (B), (L)	DX8H		(d)
CX3AT	via	EA5GL (B), (L), (e)	E2WRDTC	via	E21EIC (B), (L)
CX5A	via	CX2ABC (B), (L), (e)	E7/9A3DF	via	9A3DF
D2TX	via	PA3CMC (L)	E7HQ	via	E70ARA, (L)
D44BM	via	IW2KVT (B)	E77DX	via	E73Y (B), (L)
D44PM	via	IZ4DPV (d), (B), (L)	EA3ATO	via	EA3RCI (B), (e)
D44TWO	via	MØOXO (B OQRS), (L)	EA5/DJ2TG/p	via	DJ2TG (B), (L), (e)
D4L	via	IK2NCJ (B), (L)	EA7/WH6GVB	via	EA7KN
D4Z	via	IK2NCJ (B)	EA8/DL2GRF	via	DL2GRF ((e))
D6ØAE	via	F5GSJ (B), (L)	EA9KB	via	EA7FTR
D73G	via	HL4CCM (B), (L), (e)	ED1R	via	EC1KR (B), (L), (e)
DA0HQ	via	DL5AXX	ED2C	via	EA2RCF (B)
DA0RR	via	DJ5BWD	ED2FSF	via	EA2CYC (E-Mail)
DAØT	via	DL7AT (B), (L)	ED5HFD	via	EA5HFD (B)
DA22LGS	via	DL7ACN (B)	ED7O	via	EA7EU (d)
DA2W	via	ON3UN (B)	EE44C	via	EC5WR (d), (L), (e)
DB100RDF	via	DO2PZ	EF0F	via	EA4URE (B), (L)
DFØCOC	via	DL4PY (B)	EF1A	via	EA1X (B), (L)
DFØSAX	via	DL3DXX (B), (L)	EF6T	via	EA3AIR
DK05ØBN	via	DK5PD (B), (L), (e)	EH23HNY	via	EA5URV (B), (e)
DK0AJ	via	DH4FE	EH3HNY	via	EB3JT nur (L) & (e)
DK0dff	via	DL7AFS (B)	EH5FPM	via	EA5JDN and (L)
DK0DI	via	DH7ZP (B)	EH5HNY	via	EA5ZD (B)
DK0GYB	via	DK2AJ (B), (e)	EI/DJ1WI	via	DJ1WI
DK0SM	via	DL6OCH	EG1NMP	via	EB1CU (L), (e)
DK5T/LH	via	DK5ON (d), (B), (L)	EG5DSI	via	EA5RKS (nur L & (e))
DK70BAD	via	DK2BK (B)	EG80NT	via	EA1RCI
DL0AGU	via	DL1RNT (B)	EXØET	via	DU7ET (d)
DL0AH	via	DG5YHE	FG/F6HMQ	via	F6HMQ (B)
DL0GEO	via	DL2YAK (B), (L), (e)	FH/OK1M	via	OK1WMR
DL0JBB	via	DL6YAO (B), (e)	FK8GX	via	F5MFV (d)
DLNOT	via	DL1ZAV (B)	FM5BH	via	W3HNK (d), (L)
DLØROS	via	DL8MEW (B), (e)	FT8WW	via	F6EXV (B-OQRS), (L)
DL164ØY	via	DL3CQ (B), (e)	FY/F4GPK	via	F4GPK (nur (e))
DL2ØSOTA/p	via	DL6GCA	FY5KE	via	FY1FL (d), (L)
DL25KYF	via	DM2HEY (OQRS via (C) > No QSL needed)	G3M	via	G4PEO (B)
DL6ØLINDAU	via	DL1CBQ (B)	G5XV	via	MØOXO ((O)), (L)
DL/HB9BIN/p	via	HB9BIN (B), (L)	G8T	via	GW4SHF (B)
DL/HB9CBR/p	via	HB9CBR (nur (L))	G8X	via	G4FJK (d), (L)
DMØY	via	DL3BQA (B)	GBØNFL	via	MØLMK (nur (e))
DM20OTUS	via	DJ8NU (B)	GB13COL	via	GØVLF (d)
DM6ØUEA	via	DL3BUA (B, autom.)	GB1CSR	via	MØOLT (B), (e)
DN2MR	via	DD7MR (B)	GB2HMM	via	GW4TTA (B)
DN3TD	via	DL3TD (B)	GB5GYD	via	MØCQL ((e))
DP0POL	via	DL5EBE (B)	GB5TP	via	MM0DFV
DP5N	via	DJ0ACA	GB6OUS	via	MØOXO (B-(O)), (L)
DQ8FTDMC	via	DM2RM	GD2NV	via	G2NV (nur (e))
DR0W	via	DJ5MW	GJ2A	via	MJ0ASP (d), (L)
			GM2T	via	(B)



GM4Z	via	GM4ZUK (B), (L)	HS0ZOA	via	EB7DX (d), (e)
GM6DX	via	MØOXO (B-(O)), (L)	HS7AP/p	via	E21IZC
GQ4ATA	via	GM4ATA nur (L)	HVØA	via	IKØFVC (d), (L)
GS5DX	via	EB7DX and (d), (L)	HZ1BHR	via	HZ1SAR (d)
GS8VL	via	M0OXO ((O)), (L)	HZ1CY	via	A61BK (d), (L)
GUØVJG/p	via	GØVJG (B) nur (e)	HZ1CPCF	via	HZ1SAR
GX1FCW	via	G8MNY (L), (e)	HZ1UAE	via	HZ1SAR (d)
GX3WIM	via	G4HPE (B), (e)	HZ92ND	via	HZ1SAR (d)
GX5BBC	via	EB7DX (d)	I/HB9BIN/p	via	HB9BIN (B), (L)
GX5DX	via	G3ZME (B)	IC8/IK6CAC	via	IK6CAC (L), (e)
GX6ZME/p	via	LZ3SM (B), (L)	IC8/KL1A	via	OE1ZZZ (d)
H25A	via	DL2GAC (B), (L)	ID9Y	via	IK8YFU (d), (L), (e)
H44MS	via	HB9SHD (B), (e)	IF9A	via	IT9ATF (B), (L)
H44SHD	via	HA5MA (B), (L)	IG9/IZ8FFA	via	IZ8FFA (d), (L)
HA36EUDXF	via	HA-(B)	II1MM	via	IK1VHX (e)
HA5SPORT	via	DJ1AA (B), (e)	II2FTDM	via	IK2EKO
HBØ/DJ1AA/m	via	DL2JRM (B)	II5RM	via	IK5WOB (B)
HBØ/DL2JRM	via	HB9DQM (B), (L)	II7ML	via	IQ7ML ((e))
HBØ/OE9HRV	via	OE9HRV (B)	II9IALU	via	IT9MRM (d), (e)
HBØ/PA3CNO	via	PE1FLO	II9IAKE	via	HE9ERA (B)
HB175RAIL	via	(L)	II9IGDG	via	IT9DSA (d), (e)
HB5ØSH	nur	(L) & (e)	II9JOTA	via	IT9LIZ
HB75SG/p	via	HB9KNY (B), (L)	IK1TNU/IA5	via	IK1TNU
HB9/KB1OTE	via	KB1OTE	IK2LEY/ISØ	via	IK2LEY
HB9SPACE	via	HB9ACA	I6/ON5XX/P	via	ON5XX nur (L)
HC5JHT	via	(L)	I6/OT1V	via	ON8VM (B), (L), (e)
HD1HERO	via	nur (L)	IL7/IK5AEQ	via	IK5AEQ (B), (L), (e)
HF0ROSA	via	SP7X (L), (e)	IL7/IZ5IUY	via	IZ5IUY (auch (e))
HF1ØØL	via	SP9KDR (B)	IM0A	via	IS0BSR ((L) only)
HF1922PS	via	SP9KJU (B), (e)	IM0B	via	nur (L)
HF1Z	via	SP1EG (B), (L)	IN3/DL7CX/p	via	DL7CX (B), (L)
HF2ØLVK	via	SP4LVK (B), (e)	IN3/HB9BXQ	via	HB9BXQ (B)
HF30STB	via	SP9SCI (B)	IP1X	via	IU1JCZ (B)
HF3ØPSP	via	SP9PSJ (B)	IP6POPE	via	IZ6BRJ
HF77DIORA	via	SP3PDO (B)	IQØAK	via	ISØJXO (B), (e)
HF800M	via	SP9PKS (B)	IQ1SV	via	IZ1JIZ
HF9FIELD	via	SN9PJ (nur (e))	IQ3DD	via	IZ3NWT (Bureau)
HF95PRK	via	SP9KJU	IR1DCI/5	via	IK1GPG (B), (L)
HG0IDPD	via	HA5MA (d), OQRS (C); keine QSL benötigt	IR1DCI/8	via	IK1GPG (B), (L)
HGØWFF	via	HAØHW (B-(O)), (L)	IR9K	via	(B), (L)
HG1Z	via	HA1XY (B)	ISØ/DJ2TG/p	via	DJ2TG (L), (e)
HG1222BA	via	HA4KYB	J2ØEE	via	F4DXW (d), (L), (e)
HG4I	via	HA5LN	J28HJ	via	(L)
HG5A	via	HA5KDQ (B), (L), (e)	J28JD	via	EA5GL (B), (L)
HH18NOV	via	N2OO (B)	J28MD	via	IK2VUC (B)
HH2AA	via	EB7DX (L), (d)	J3/N9GB	via	N9GB
HH75RCH	via	N2OO (B)	J43POTA	via	SV3SPD (L), (e)
HI8J	via	RW6HS (d), (L)	J5GQA	via	CT2GQA (B), (e)
HI9/IK2KTE	via	IK2KTE	JD1AJD	via	JA1ADT (B), (L)
HL77V	via	6KØMF (B)	JW/KA1IS	via	KA1IS (B)
HLØ9NWPF	via	HL5BJU (B), (L), (e)	JWØA	via	K4NHW (B), (L)
HP1/EA5XV	via	EA5XV (B)	JW7QIA	via	LA7QIA (B), (L)
HR9/K6VHF	via	K6VHF (B), (L), (e)	JW7XK	via	LA7XK (B), (L), (e)
HQ9X	via	KQ1F (B), (L)	JX/LB4MI	via	LB4MI (B), (L), (e)
HR5/F2JD	via	F6AJA (B), (L)	K4C/75	via	N4JR (B)
HS0ZJF	via	ON4AFU (d), (B)	K4WK/VE3	via	K4WK
HS0ZNR	via	VK2FY (d), (L), (e)	KH6/ND0B	via	ND0B (d), (L)
			KH6ND/W7	via	KH6ND (L)
			K5A	via	K5DB (d), (L)



K8H	via	W7YAQ (L)	OE25MFCA	via	OE6XMF (B)
KC4AAC	via	K7MT (d), (L)	OE0FTDMC	via	OE6VIE (B-(O)), (L)
KH7X/W7	via	KH7X (L), (e)	OE0HQ	via	OE3KAB (L)
KL7J	via	N3SL (B), (L)	OE25TU	via	OE-Bureau
KP2/KB5RF	via	KB5RF (nur (L))	OE3DIA	via	OE1DIA (d), (e)
KP2B	via	EB7DX (d), (L)	OE5D	via	OE2UKL (B), (e)
KP4/E77DX	via	E73Y (B), (L)	OE6ØSTMK	via	OE6WIG (B)
KP4/KCØBLK	via	KCØBLK (d), (L), (e)	OE7ØFI	via	OE5FSL (B)
KT3Q	via	DF8DX (B), (L)	OF9X	via	OH2BH (B)
L2ØD	via	LU3DXG (L), (e)	OG7F	via	OH5AD (B), (L)
L50DY	via	LU8DY (L), (e)	OH0CO	via	SM6CCO (d), (L)
L60CBA	via	LU5CBA	OH1XMAS	via	OH-Bureau
LA/PE1ITR	via	PE1ITR (B), (L)	OJ0DX	via	DL3DXX (B-(O)), (L)
LA/SP7VC	via	SP7VC (d), (e)	OJ0JR	via	OH3JR (B), (L)
LA/ON4ROB/P	via	ON4ROB	OJ0MR	via	OG2M (d)
LB5SH/p	via	LB5SH (B), (L)	OK/SQ9MDF/p	via	SQ9MDF (B)
LC1R	via	LB5SH (B), (L)	OK5D	via	OK1DTP (B), (L)
LC5C	via	LA6KOA (B)	OK5M	via	OK5MM (B)
LP1A	via	EA7FTR (L)	OK5Z	via	OK2ZI, (L)
LV1E	via	LW6EQG (B), (L), (e)	OK8CX/p	via	DL7CX (B), (L)
LW2DO	via	EC6DX (d)	OK8MA/p	via	SP9MA (B)
LX/PA3FQX	via	PA3FQX	OL1T	via	OK6DJ (B), (L), (e)
LX4HNY	via	LX1JH (B autom.), (e)	OL15SOTA	via	OK1CYC (B), (L)
LY700VLN	via	LY4Q	OL3Y	via	OK1CRM (B), (L)
LY770CT	via	LY1CT and (L)	OL5GMA/p	via	OK3EQ (B), (e)
LY786A	via	LY5A (B)	OMØR	via	OM3GI (d), (L)
LZ/OP4L	via	ON4LDK (d), (B)	ON/SP7THC	via	SP7THC (d)
LZ/SQ2M	via	SQ2M	ON37IOF	via	ON7QC (B)
LZ0KP	via	SV2CLJ (d), (L)	OO22FLY	via	nur ON-Bureau
LZ1Ø5IN	via	LZ1ZF (B)	OO36EUDXF	via	ON6CC (B), (L)
LZ1GLASS	via	LZ1KAK (B)	OO7Z/p	via	ON6KZ (B), (e)
LZ258ML	via	LZ1KCP (B), (L)	OP4K	via	ON4JZ and (L)
LZ2K	via	LZ4AE	OP9T	via	ON5CT, (L)
LZ25MIG	via	LZ1ZF (B)	OQ4U	via	ON4AMX (B), (L)
LZ31ZE	via	LZ1KCP (B), (L)	OQ5M	via	ON5ZO (L), (e)
LZ319TS	via	LZ1KCP	OQ95RCL	via	ON3AR
LZ4A	via	LZ1YQ (d)	ORØA	via	ON6ZK (B)
LZ457PP	via	LZ1KCP (B), (L)	OR1ØØRCBE	via	ON4GDV (B), (e)
LZ540DS	via	LZ1KCP (B), (L)	OR1ØØHERZ	via	ON-Bureau
LZ5G	via	LZ5ET (B)	OR1Z/p	via	ON6IX (d), (e)
LZ6E	via	LZ1GU (B)	OR7ØFI	via	OR4K (B)
LZ6T	via	LZ2JA	OR7G/p	via	ON7VG (auch (e))
M/LY4L	via	LY4L (L)	OR78CLM	via	ON6HC (B)
M2J	via	G4NBS (nur (L))	OR8W	via	ON4BDV
M4T	via	M0BEW ((e) only)	OS5Z	via	ON5CAZ (B)
M7W	via	G3TBK	OT4A	via	ON4AEK (L), (e)
M7Z	via	G4BWP and LoTW	OT4N	via	ON4CN (B), (e)
M8A	via	M0HDF and LoTW	OT5IDPD	via	ON6WL (B), (L)
MD7C	via	MØOXO (B-(O)), (L)	OT5Q	via	ON4KNP (B), (L)
MM1E	via	(L) (kein Bureau)	OT6E	via	ON6QS (L), (e)
MN5A	via	G3TXF (B), (L)	OU5K	via	OZ1BEF (d)
MS0ORK	via	MM5DWL (d)	OV2T	via	PAØABM (B), (L)
MQ0PAM	via	MØPAM (d), (L), (e)	OV3T	via	OZ4XL, nur (L)
NØC	via	WØUY (d), (L)	OV5W	via	OZ1GIN
N1N	via	K6ZO (L)	OX7AM	via	OZ1ACB ((O)), (L)
N5W	via	K5GN	OY7EE	via	OZ2I (B)
NL8F	via	N7RO (d), (L)	OZ/DJ1AA	via	DJ1AA
OD5ZZ	via	N4GNR (d), (L)	OZ50DDXG	via	OZ1ACB (O), (L)
OE05FTDMC	via	OE1SGU (L), (e)	OZ5W	via	OZ7QC, (L)



P29LL	via	EA7FTR (d)	S79/RM8A	via	RM8A (direct)
P29RO	via	DL4SVA (B), (L)	SB6A	via	SA6AOA (nur (L))
P3AA	via	RW3RN (d), (B)	SD6F	via	SM6JWR (B), (L)
P3X	via	UT5UDX (L), (e)	SF6F	via	SA6FOL (nur (L))
P4ØL	via	WA3FRP (B), (L)	SI3A	via	SM3LIV (B), (L), (e)
P44W	via	N2MM (d), (L)	SK75BL	via	SK1BL (B, automatisch)
P49X	via	W0YK (d), (L)	SM/OH2NOS/p	via	OH2NOS
P4/DDØVR	via	DDØVR (B)	SM2M	via	SM2LIY (B), (L), (e)
PA/DH1NBE	via	DH1NBE (B)	SN15ØBRAIL	via	SP2PBY (B)
PA/SP1MVG/p	via	SP1MVG	SN2ØØO	via	SP2PGD (B, automatisch)
PA1VS	via	DE7VSH (B), (L), (e)			SP2PGD (B, automatisch)
PA22VUELTA	via	PI4UTR	SN2ØØW	via	SP2PGD (B, automatisch)
PA6ØCUBA	via	PA1FZH			SP2XF (d), (B), (L)
PA6ØEHSB	via	PA5ABW (B)	SN2M	via	SP5PMU (B)
PA6ØNN	via	PC4C (B), (L)	SN500GM	via	SP5KP (d), (L)
PA75DXCC	via	PA0ABM (O), (L)	SN5N	via	SP6FHU (B)
PA9ØØUTR	via	PI4UTR	SN6J	via	SP1PMY (B)
PC2ØSAIL	via	PAØRDY (B)	SN89LOT	via	SQ8ERS (B), (L)
PD36EUDXF	via	PA1AW (B), (L)	SN8K	via	(B)
PE36EUDXF	via	PA1AW (B), (L)	SN65PLU	via	SQ9FMU (B)
PF01MAX	via	PC2F and (L)	SN95PRK	via	SP3PDO (B)
PF36EUDXF	via	PA1AW (B), (L)	SOØKBW	via	SP9WZO
PF44F	via	(L) (kein Papier)	SO95PRK	via	(B)
PF6SKCC	via	PG4I	SP65PLU	via	SP6PZB (B)
PF6ØPENM	via	PF9W (B), (L)	SP77DIORA	via	SP3PDO (B)
PGØØT	via	PA2TMS (B), (e)	SP9ØENG	via	SP9PNB (B)
PG6PEACE	via	PG5FRL, (L)	SP95PRK	via	(B)
PI4COM	via	PA1AW and (L)	SQ65PLU	via	SP1EG
PI4DX	via	PD1DX (d), (B), (L)	SQ75ZOT	via	(B)
PI4NTC	via	PG4I	SQ95PRK	via	F6BFH (B), (*)
PI4RCA/p	via	PA4T (B)	ST2SA	via	OH2BH (B)
PI75ØGAZ	via	PA-(B)	SU8X	via	SX338M nur (L) & (e)
PJ2/DK5ON	via	DK5ON (d), (B), (L), (C)	SV9/SX338M	via	SZ2RWM (d), (e)
PJ2/DDØVR	via	DDØVR (B)	SX1ØØMRH	via	SZ1A (B), (L), (e)
PJ4/DDØVR	via	DDØVR (B)	SX14ASTRO	via	SV2JAO (d), (e)
PJ4/K4BAI	via	K4BAI	SX2IMA	via	SV1AHH (nur L & (e)
PJ7/G4JEC	via	NØUK (B), (L)	SX22HAF	via	nur (L), (e)
PP2/DL3SEZ	via	DL3SEZ (B)	SX338M	via	SV2GWY (d), (L), (e)
PQ3G	via	PY3OZ	SX39J	via	SV1AHH (L), (e)
PR1T	via	PY1ZV (nur (L))	SX44JM	via	SV8MQP (B), (e)
PR2R	via	PY2ERA (d), (B), (L)	SX8AEG	via	SV1ENG (B), (L)
PT4Z	via	PY4JW (d)	SZ1KVDD	via	JAØJHQ (d), (L)
PT5C	via	PY5HC (B), (L), (e)	T88PB	via	JH1FFW (B), (L), (e)
PT5J	via	PP5JR und (L)	T88RC	via	TA3J (B), (L)
PT6B	via	PY6HD (d), (L)	TA3J/0	via	OH2KW (B), (L)
PV2ØØBR	via	PY2KP (B), (L), (e)	TA4/OH2KW	via	SQ9UM (d), (L), (e)
PV2K	via	EA5GL (B), (L)	TA4/SQ9UM	via	(e)
PW2IND	via	PP5AA (B), (e)	TC29EKM	via	YM7KK (d), (L)
PX2A	via	PY2VM (d), (L)	TC7G	via	EA5GL (B), (L)
R1941MB	via	R2DX (B), (L), (e)	TG9ADM	via	(d), (L)
R2022DX	via	RQ7L	TI1FIFA	via	EA5ZD (d), (L)
R2Ø23NY	via	RQ7L	TI2VLM	via	M0URX (O) und (L)
R245GC	via	RW1QN (B), (L), (e)	TI5/N3KS	via	HB9BHU
R50RCR	via	RV3VR	TI7/HB9BHU	via	VE3BW (L)
R8ØURAN	via	UA4AJD (B)	TI7/VE3BW	via	S53WW, (L)
R7ØØSSR	via	RØSI	TK/S53WW	via	S57L, (L)
RI41POL	via	RN3RQ (B)	TK/S57L	via	S57VW
S21SM	via	OH6EAC (d) und (L)	TK/S57VW	via	S50C (d), (B), (L), (e)
S50HQ	via	S54G (B), (L)	TK0C	via	



TMØW	via	F2CT (L), (e)	UR5FSP/mm	via	UR5FSP (d), (L)
TM1MLB	via	F4KMI (B), ((e))	V26K	via	AA3B (B), (L), (e)
TM1SOTA	via	nur (e)	V26OC	via	N3OC (d), (L)
TM1ØKIY	via	F4KIY (B), (L), (e)	V31TX	via	DJ5QW (B)
TM109TDF	via	F8GGZ	V31XX	via	K4XS (d)
TM1ØØBBC	via	F8GGZ (B)	V4/NT5V	via	NT5V (B), (L)
TM1ØØCARD	via	F5PTI (B), (L), (e)	V47FWX	via	MØURX (B-(O)), (L)
TM100UNOR	via	F8KHG (B)	V48A	via	WX4G (B), (L), (e)
TM1Ø5BDC	via	F8KGN (B)	V48DM	via	N4GNR (B), (L)
TM11SRY	via	F5KCC	V5/HB9BFM	via	HB9BFM (B), (L)
TM13COL	via	F5OGL (L)	V5/ZS1WO	via	DH3WO (B)
TM17FFF	via	F4GFE	V51LZ	via	EA5GL (B), (L), (e)
TM17MGF	via	F5KLJ (B)	V73MS	via	WV7MS (d), (L)
TM1SSOU	via	F6KGL	V85/F5NPV	via	F5NPV (L), (e)
TM2ØØLP	via	F8GGZ (B)	V85NPV	via	nur (e) & (L)
TM22CAD	via	F1LPT ((e) only)	VB4LIGMA	via	A4BEN
TM2ALMA	via	F5PTA (d), (e)	VE2PEACE	via	VE2JCW (d)
TM2D	via	F5KHP (e)	VE3KTB/VY0	via	M0OXO (B-(O)), (L)
TM2LD	via	F4GQP (B)	VG5DX	via	VA5DX (d)
TM34SCRP	via	F5JBU (d), (B)	VJ2J	via	VK2CZ (d)
TM35FIST	via	F6JOE (d), (B)	VJ3A	via	VK3JA and (L)
TM36EUDX	via	PA1AW (B), (L)	VJ4K	via	N3SL (B), (L), (e)
TM3CNR	via	F5PTA nur (e)	VJ4T	via	VK4QH (L), (e)
TM3GGR	via	F6KUF (B); F5OEV (d)	VL2B	via	VK2BJ ((L) only)
TM3Z	via	F4DSK (B)	VL2G	via	VK2GR ((L) only)
TM400MO	via	F4DTO (B)	VL2N	via	VK2PN ((L))
TM5ØARML	via	F4ILK (B), (e)	VL3E	via	VK3TZ and (L)
TM50FIBD	via	F5PTI and LoTW	VL6C	via	VK6IR (O) und (L)
TM50KGI	via	F4HSQ	VP2ETE	via	W3HNK, (L)
TM50SC	via	F6PCT	VP2MDX	via	W2APF (B), (L)
TM50VAR	via	F4GPB (d), (B)	VP2MJA	via	VE3WB
TM55TDL	via	F4IVC (d), (e)	VP8TAA/p	via	MØOXO (B- (O)), (L)
TM5TD	via	F6KMB	VP9/N8QNT	via	N8QNT (B)
TM55NSNM	via	F4GPB (B), (e)	VP9/SP9FIH	via	SP9FIH
TM59TDF	via	F8KGS	VP9IN	via	EC6DX (d)
TM62YT	via	F4GYG (e)	VKØWN	via	VK7WN (B), (L)
TM65M	via	F5RAB	VK36EUDXF	via	VK2WN, (L), (e)
TM72LMC	via	F1IEH (L)	VK5X	via	VK5XDX ((L))
TM72WOW	via	F1IEH (d)	VK6T	via	EA7FTR (d), (L)
TM74CHX	via	F4IRT (B), (L), (e)	VK75FAA	via	VK2YVA (B)
TM78DP	via	F4GPB (B), (e)	VK8NSB	via	M0URX (O) und (L)
TM8AB	via	F4KJQ	VK9C	via	EB7DX (d), (L), (e)
TM8GE	via	F6KFI (B)	VK9CM	via	EB7DX (d), (L), (e)
TM8R	via	F5BNJ (B), (L)	VK9MTO	via	ZL1MTO (d \$5 PayPal), (L)
TM80NT	via	F8GGZ			
TM90GF	via	F4KLR (B), (e)	VK9XX	via	EB7DX (d), (L)
TM100UNOR	via	REF-Bureau	VK90ABC	via	VK1RAS (L), (e) only
TO2DL	via	DL7DF ((O)), (L)	VX2I	via	F5JYD (B), (d), (L)
TO5A	via	F5VHJ (B), (L)	VR25RC	via	VR2RC
TO9W	via	W9ILY (O), (L)	VR25XMT	via	VR2XMT (d), (L)
TR8CR	via	F6AJA (B)	VP2MDX	via	W2APF (B), (L)
TT8SN	via	F8FQX	VP5Y	via	VE3RZ
TX7G	via	F6BCW (B,automatisch)	VP8TAA	via	M0OXO (O), (L)
TY0RU	via	R7AL ((O)), (L)	WØ /VK3BDL	via	VK3BDL
TY5AF	via	(B – (O)), (L)	W2/JR1AQN	via	JR1AQN (B), (L), (e)
TZ4AM	via	W0SA (B), (L)	W7/KH7X	via	KH7X (d), (B)
UE23NY	via	RQ7L	W8W	via	W8KVK (d), (e)
UE32DX	via	RQ7L	XE1HG	via	EA5GL (d), (L)
UG5F	via	RW3DSR (d), (L), (e)	XE3E	via	EA5ZD (d), (L)



XF1S	via	IT9EJW (B)
XIØX	via	XE1KK (nur (L))
XM3A	via	VE3NOO (B), (e)
XP3A	via	PA3249 (d), (L), (e)
XT2AW	via	M0OXO (O) und (L)
XV9BPO	via	EA5GL und (L)
XV9SB	via	WB4SAB (d)
XV9K	via	DJ6TF (B), (L)
XW4KV	via	F4BKV (B), (L)
XZ2B	via	JH3SIF (B), (L)
YB0AR	via	EB7DX (d) und (L)
YBØECT	via	W2FB (d), (L)
YB8QT	via	IK2DUW (d), (L)
YH0R		(B), (L), (e)
YJØAUS	via	F6BFH (B), (*)
YJØCA	via	VK2YUS (d)
YJØDA	via	VK4MAP (d)
YK1AA	via	F6BFH (B), (*)
YO3IMD	via	YO3KPA (B), (L)
YO8/LZ4UU	via	LZ4UU (B), (e)
YP8XMAS	via	YO2MSB (B), (e)
YR1400VT	via	YO6KGS (e)
YR12ØØVT	via	(e) oder qrz.com
YR2X	via	YO2LEA (B), (e)
YS1RR	via	F6BFH (B), (*)
YR6MUSEUM	via	YO6KNE (B), (L)
YU/OK1ARI/p	via	OK1ARI (auch (e))
Z21LS	via	DE1ZHB (B), 7Z1HB (d)
Z66BCC	via	DL2JRM (B)
Z68EE	via	OZ2I (B), (L)
Z66X	via	OH2BH (B), (L)
Z68XX	via	DL2JRM (B)
ZA/OE6TQG	via	OE6TQG and (e)
ZA/OE8NDR	via	DE1QL
ZA/SQ9MDF/p	via	SQ9MDF (B)
ZF1A	via	K7ZO ((O)), (L), (d), (B)
ZF2IT		nur (L)
ZF2MJ	via	N6MJ and (L)
ZF2RX	via	KC1KUG
ZL1X	via	ZL1BVA (e)
ZL4/VE6TC	via	VE6TC (L), (e)
ZL7/K5WE	via	K5WE (d), (L)
ZL7/ZL1VV		(L)
ZP4/PY5ZUE	via	DL7UE (L)
ZV2X	via	PY2YVN
ZV8C	via	PQ8SL (d), (L)
ZW2ØØESQ	via	PY1JR (B)
ZW2A	via	PY2SGL (d), (B), (L)
ZW7I	via	PY7WM (B), (L)
ZX8F	via	PS8RV (B), (L)
ZY0FUN	via	PY2RN ((O)), (L)
ZZ1S	via	PY1IO (d), (LO)
ZZ2OO	via	(B), (L)
ZZ4A	via	PX4DX (d), (L)

(d) = direkt (B) = Büro ok
(L) = (L) (O) = (O)
(C) = ClubLog (e) = (e)
(*) = neuer Manager (Q) = QRZ.COM
H/c = Homecall

*** Aufgrund der anhaltenden und sich ständig ändernden Situation von COVID-19 auf der ganzen Welt, können die angekündigten Aktivitäten ohne vorherige Ankündigung verkürzt, verschoben oder **sogar abgesagt werden.** ***

Abkürzungen:

ARLHS	Amateur Radio Lighthouse Society
DCI	D.C.I. (Diploma Castelli Italia) http://www.dcia.it/dci/
DCPC	D.C.P.C. (Diploma Castelli Provincia Cuneo)
DFCF	Diplome des Forts et Chateaux de France
DIFM	Diplôme des Iles de la France Métropolitaine
H/c	Homecall
ILLW	International Lighthouse Lightship Weekend
IOCA	Islands Of Croatia Award
IOTA	Islands on the Air
(L)	Logbook of the World
(O)	Online QSL Request System
POTA	Parks On The Air
RDA	Russian District's Award Program
RLHA	Russian Lighthouse Award
SNSM	Société Nationale des Sauveteurs en Mer
URE	Unión de Radioaficionados Españoles
WCA	World Castles Award
WL OTA	World Lighthouse On The Air Award
WRTC	World Radiosport Team Championship
WWFF	World Wide Flora & Fauna
YOTA	Youth On The Air

Wir bedanken uns für die Mitarbeit an dieser Ausgabe bei: I1JQJ/IK1ADH & 425 DX News, DX World, DXNews.com, VA3RJ, KB8NW & OPDX-Bulletin, DF6EX (für WIN-QSL), DL1BAH, DL1SBF, DL3FF, DL7MAE, EA3HKY, UA1OBA, F6AJA & Les Nouvelles DX, Islands On The Air, NG3K & ADXO, OE2IKN, OM3JW & IDXP, OZ6OM & 50 MHz DX News, W3UR & The Daily DX ...u.a.

Kostenloses Abo DXMB / DXNL:

DXMB Abonnement / DXNL Subscription

<https://www.darcdxhf.de/dxmb/>

PDF-Version in Deutsch (farbig, mit Bildern):

<https://www.darc.de/der-club/referate/dx/dxmb/>

TXT-Version deutsch (nur Text, ohne Bilder):

<https://www.darc.de/der-club/referate/dx/dxmb/>

TXT-Version englisch (nur Text, ohne Bilder):

<https://www.darc.de/der-club/referate/dx/en/dxnl/>

Archiv:

<https://www.darc.de/der-club/referate/dx/dxmb/>

DXMB-Homepage:

<https://www.darc.de/der-club/referate/dx/dxmb/>

